

## مطالعه پراکندگی و منشأ یابی رسوبات لسی شمال شرق ایران

علی قربانی شورستان - دانشجوی دکتری جغرافیای طبیعی، گروه جغرافیا، دانشکده ادبیات، دانشگاه فردوسی مشهد.  
سیدرضا حسین زاده\* - دانشیار جغرافیای طبیعی، گروه جغرافیا، دانشکده ادبیات، دانشگاه فردوسی مشهد.  
علیرضا کریمی - استادیار علوم خاک، گروه علوم خاک، دانشکده کشاورزی، دانشگاه فردوسی مشهد.  
مهنار جهادی طرقی - استادیار ژئومورفولوژی، دانشگاه پیام نور، تهران، ایران.

پذیرش مقاله: ۱۳۹۷/۰۹/۱۴ تائید نهایی: ۱۳۹۸/۰۶/۱۷

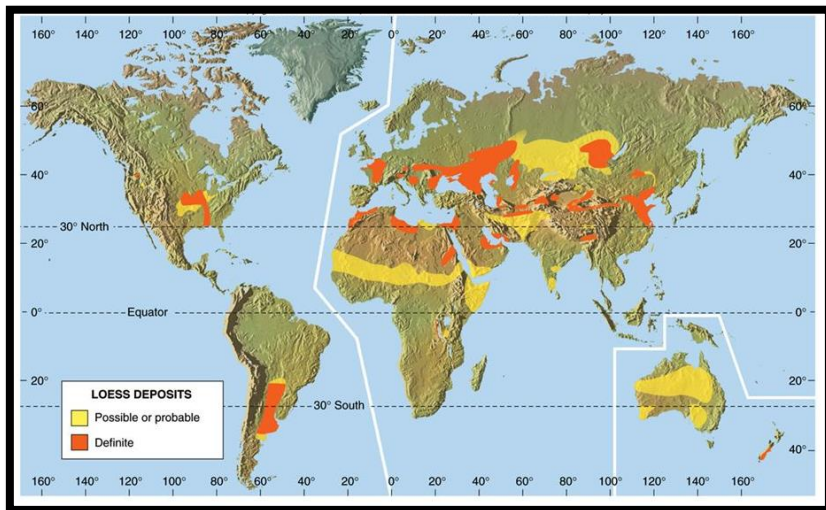
### چکیده

رسوبات لسی در شمال شرقی ایران به شکل پراکنده و با خیامت کم بر روی دامنه‌های رو به شمال، شمال شرقی و شرقی نهشته شده‌اند. مطالعه و بررسی این رسوبات می‌تواند در بازسازی فرایندهای ژئومورفولوژی گذشته کمک کند. هدف از این مطالعه شناسایی و تعیین پراکنش رسوبات لسی، بررسی ویژگی‌های بافت رسوب‌ها، ویژگی‌های مورفوسکبی (SEM) و در نهایت منشأ یابی این رسوبات در شمال شرق ایران و در محدوده استانهای خراسان رضوی، خراسان شمالی و استان گلستان می‌باشد. در مجموع تعداد ۱۱۹ نمونه سطحی به صورت پراکنده در کل منطقه برداشت و میزان گنج آهک آنها مشخص گردید. از این تعداد ۲۰ نمونه پراکنده از منطقه جهت آزمایش توزیع اندازه ذرات و تعداد ۴ نمونه جهت بررسی موفوسکبی (SEM) انتخاب شد. ماسه خیلی ریز، ذره غالب در نمونه‌ها بوده و مجموع سیلت درشت و سیلت خیلی درشت و ماسه خیلی ریز به بیش از ۶۰ درصد می‌رسند. نتایج بدست آمده از اسکن دانه‌های کوارتز که نشان می‌دهد اکثر دانه‌ها دارای گرد شدگی کم، شکستگی‌ها زاویه دار، ضربی سایش کم و همچنین هاله مانند بودن ذرات بیانگر برداشت از بستر های رودخانه‌های قدیمی یا دشت‌های آبرفتی، مسافت حمل متوسط و قرار گرفتن در محیط‌های رسوبی بادی است بهمراه دلایلی چون غالب بودن شن خیلی ریز در نمونه‌ها می‌توان بعنوان شاهدی از محلی بودن و نزدیکی محل برداشت به محل نهشتگی در نظر گرفت. بین ارتفاع و میانگین اندازه ذرات نمونه‌های برداشت شده همبستگی منفی قوی وجود دارد و هر چه به ارتفاع محل برداشت نمونه افزوده می‌شود میانگین اندازه ذرات آن کوچکتر می‌شود و ضربی همبستگی آن ۰/۷- می‌باشد.

واژگان کلیدی: رسوبات لسی، شمال شرق ایران، توزیع اندازه ذرات، مورفوسکبی، منشأ یابی.

## مقدمه

رسوبات لسی یکی از شناخته شده ترین رسوبات بادرفتی در جهان می‌باشد (سودمند، ۱۳۹۲، ۲) که بیشتر در کمریند لسی یعنی عرض‌های جغرافیایی ۳۰ تا ۶۰ درجه نیمکره شمالی پراکنده هستند(شکل ۱). با توجه به قرارگیری ایران در عرض جغرافیایی ۲۵-۴۰ شمالی امکان وجود رسوبات لسی در ایران وجود دارد و شمال ایران هم از نظر موقعیت جغرافیایی که هم عرض آسیای میانه و چین است هم به لحاظ شرایط ژئومورفولوژی دارای رسوبات لسی شناخته شده تری نسبت به سایر نقاط ایران می‌باشد (کریمی و همکاران، ۱۳۸۷، ۴۵). مطالعه رسوبات لسی می‌تواند اطلاعات ما را در زمینه تغییرات اقلیمی و محیطی گذشته افزایش دهد و از آنجایی که لسه‌های پلیستوسن به صورت گسترده در قاره‌های مختلف زمین پراکنده شده اند می‌تواند زمینه مناسبی را برای انجام مطالعه بر روی اقلیم گذشته کره زمین فراهم سازد(کریمی و همکاران، ۱۳۷۷، ۲۰۱۱). در انجام مطالعات رسوبات لسی اولین قدم شناسایی ویژگی‌های فیزیکی، شیمیایی و کانی شناسی آنها است. تعیین این ویژگی‌ها برای تعیین منشأ، مکانیزم انتقال، چگونگی تجمع و رژیم‌های باد برای حمل و نقل ذرات لازم است (سان، ۲۰۰۲، ۲). در این میان دو ویژگی توزیع اندازه ذرات و مورفوگلوبی ذرات کوارتز، به فراوانی برای تعیین مکانیزم منشأ و فرایند انتقال به فراوانی استفاده شده است، تغییر الگوی توزیع اندازه ذرات در رسوبات لسی را می‌توان ناشی از تغییرات اقلیمی و زیست محیطی، تغییر دینامیک باد، تغییر منابع تامین لس و شرایط متفاوت شکل گیری سیلت‌ها در دوران رسوب گذاری دانست(کروهلهینک ۱۴۰۷، ۲۰۰۷).



شکل ۱: نقشه پراکندگی مناطق لسی جهان(کراوی<sup>۳</sup> و همکاران، ۲۰۱۰)

مطالعات گسترده ایی در مورد ویژگی‌ها، خصوصیات، پراکندگی و کاربرد رسوبات لسی در جهان و همچنین در ایران صورت گرفته است که در اینجا به صورت خلاصه به برخی از آنها اشاره خواهد شد؛ در زمینه تعریف سازندهای لسی می‌توان به مطالعات تاسور<sup>۴</sup> و پای<sup>۵</sup>(۱۹۸۷)، کراوی و همکاران(۲۰۱۰)، موس<sup>۶</sup>(۲۰۰۷)، کریمی و همکاران(۲۰۰۹)، جاکوب<sup>۷</sup> و همکاران(۲۰۱۱) و کریمی و همکاران(۲۰۱۱) اشاره کرد که تعریفی از لس ارائه داده اند با تاکید بر توزیع اندازه ذرات حمل شده توسط باد، که از رس، سیلت و شن خیلی ریز تشکیل شده است که بخش سیلت آن نسبت به دیگر ذرات از فراوانی

<sup>2</sup> Sun

<sup>3</sup> Kröhlung

<sup>4</sup> Kehrwald

<sup>5</sup> Tsoar

<sup>6</sup> Pye

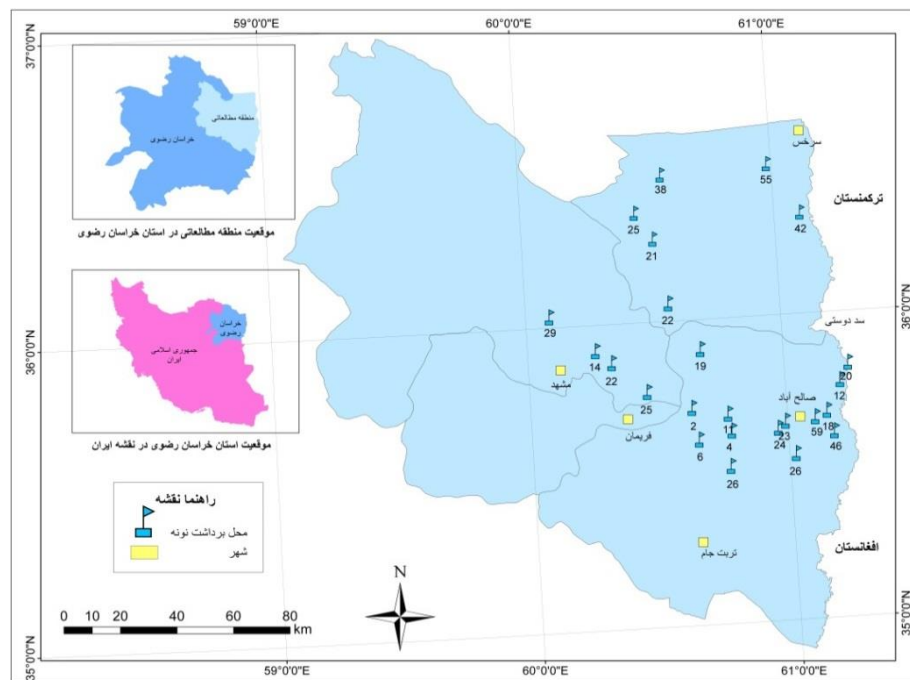
<sup>7</sup> Muhs

<sup>8</sup> Jacobs

بیشتری برخودار است. همچنین پیچی<sup>(۱۹۹۰)</sup> تلاش گستردۀ ایی در جهت ارائه تعریف تیپیک برای لس انجام داد که منتج به پیشنهاد ده خصوصیت مختلف برای سازندهای لسی شد، همچنین ایریندو<sup>۲</sup> و کروهelinck<sup>(۲۰۰۷)</sup> چندین ویژگی فرعی برای سازندهای لسی مانند شکنندگی، دامنه های شبیدار و شکافهای عمودی هر چند که در تعاریف لس کاربرد ندارند، اما به طور گستردۀ ای در مطالعات میدانی مورد استفاده قرار می گیرند ازایه دادند. مهمترین ویژگی رسوبات لسی توزیع اندازه ذرات آنها می باشد و مطالعات فراوانی در این زمینه توسط پای<sup>(۱۹۸۷)</sup>، کراوی و همکاران<sup>(۲۰۱۰)</sup>، موس<sup>(۲۰۰۷)</sup>، کریمی و همکاران<sup>(۲۰۰۹)</sup>، کراوی و همکاران<sup>(۲۰۱۰)</sup>، جاکوب و همکاران<sup>(۲۰۱۱)</sup> و کریمی و همکاران<sup>(۲۰۱۱)</sup> انجام گرفته و تمامی آنها تاکید بر این مطلب دارند که لسهها، رسوبات بادرفتی هستند که از رس، سیلت و شن خیلی ریز تشکیل شده است. در زمینه پرآکنده‌گی رسوبات لسی در جهان و ایران می توان به مطالعه سان<sup>(۲۰۰۳)</sup> اشاره کرد که بیان می کند ۱۰ درصد سطح کره زمین (عرض ۳۰ تا ۶۰ نیمکره شمالی) توسط لس پوشانده شده است، یا می توان به مطالعات گودیه<sup>۳</sup> و همکاران<sup>(۱۹۸۴)</sup>، کریمی و همکاران<sup>(۲۰۰۹)</sup> و کراوی و همکاران<sup>(۲۰۱۰)</sup> اشاره کرد که به اثبات وجود رسوبات لسی در مناطق خشک پراخته اند و در نهایت وجود لس در شمال ایران توسط خرمالی و کهل<sup>(۴)</sup>، خرمالی و عجمی<sup>(۲۰۱۱)</sup> و خرمالی و همکاران<sup>(۲۰۱۲)</sup> و در شمال شرق ایران توسط اخروی و امینی<sup>(۲۰۰۱)</sup> و کریمی و همکاران<sup>(۲۰۰۹)</sup> و در جنوب غرب ایران توسط کهل و همکاران<sup>(۲۰۰۵)</sup> به اثبات رسیده است. سازندهای لسی به دلیل تخلخل مناسب و سیلت فراوان، شرایط مناسبی برای نفوذ ریشه و حفظ رطوبت دارد که این ویژگی باعث شده حاصلخیزترین خاکهای جهان در این سازندها تشکیل شوند، مطالعات فراوانی برای اثبات این مطلب توسط منگل<sup>۵</sup> و همکاران<sup>(۱۹۹۸)</sup>، کات<sup>(۶)</sup> واسیلیویچ<sup>۷</sup> و همکاران<sup>(۲۰۱۳)</sup> و فیض نیا<sup>(۱۳۸۴)</sup> صورت گرفته است. لسهها به دلیل داشتن سیلت فراوان حساسیت بسیار زیادی در زمینه فرسایش دارند و در صورت مدیریت ضعیف می تواند فرسایش بالایی را ایجاد کند (۱۰۰ تن در هکتار)، که در زمینه جهت برآورده میزان فرسایش و نحوه مدیریت این نوع اراضی مطالعات گستردۀ ای انجام شده است که می توان به مطالعات چن<sup>۸</sup> و همکاران<sup>(۲۰۰۳)</sup>، واسیلیویچ و همکاران<sup>(۲۰۱۳)</sup>، دربی شایر<sup>(۹)</sup> و عجمی و همکاران<sup>(۱۳۹۱)</sup> اشاره کرد. تناوب رسوبگذری لس و تشکیل خاک در این رسوبات که در پاسخ به تغییرات اقلیمی است، سبب شده است که این رسوبات، مهمترین بایگانی های تغییرات اقلیمی در خشکی ها باشند، که این مطلب در مطالعات سان<sup>(۲۰۰۲)</sup>، کریمی و همکاران<sup>(۲۰۱۱)</sup>، واسیلیویچ و همکاران<sup>(۲۰۱۳)</sup>، استنلی<sup>۱۰</sup> و شاتزل<sup>(۱۱)</sup>، دینگ<sup>۱۲</sup> و همکاران<sup>(۱۹۹۹)</sup>، پرسلی<sup>۱۳</sup> و همکاران<sup>(۲۰۱۰)</sup>، شاتزل و آندرسون<sup>(۱۴)</sup>، کریمی و همکاران<sup>(۲۰۱۳)</sup>، گلیوا<sup>۱۵</sup> و آندریک<sup>(۱۵)</sup> و کرووالد<sup>۱۶</sup> و همکاران<sup>(۲۰۱۰)</sup> به اثبات رسیده است. عامل اصلی تعیین کننده توزیع اندازه ذرات در

<sup>9</sup> Pécsi<sup>10</sup> Iriondo<sup>11</sup> Goudie<sup>12</sup> Kehl<sup>13</sup> Mengel<sup>14</sup> Catt<sup>15</sup> Vasiljevich<sup>16</sup> Chen<sup>17</sup> Derbyshire<sup>18</sup> Stanley<sup>19</sup> Schaetzl<sup>20</sup> Ding<sup>21</sup> Presley<sup>22</sup> Anderson<sup>23</sup> Golyeva<sup>24</sup> Andric<sup>25</sup> Kehrwald

رسوبات لسی، فاصله از منبع برداشت است. با توجه به مطالعات انجام شده، ذرات با نمای ۵۰ تا ۶۰ میکرون از فواصل کمتر از ۳۰۰ کیلومتر و ذرات با نمای ۳ تا ۸ میکرون از مسافت‌های دورتر ۵۰۰ تا ۲۰۰۰ کیلومتر حمل می‌شوند و کسانی که در این زمینه مطالعات گستردۀ اینجام داده اند و مطالب فوق را به اثبات رسانده اند، تاسور و پای (۱۹۸۷)، دایان<sup>۱</sup> و همکاران (۱۹۹۸)، کراوی و همکاران (۲۰۱۰) و فریچن<sup>۲</sup> و همکاران (۲۰۰۸) می‌باشند.



شکل ۲: نقشه موقعیت منطقه مورد مطالعه

علاوه بر رسوبات لسی شمال ایران که اطلاعات خوبی از پراکنش و ویژگی‌های آنها وجود دارد، در ناحیه که داغ نیز رسوبات لسی وجود دارد که برخلاف رسوبات لسی شمال ایران، پراکنده و کم ضخامت هستند. این رسوبات در اطراف کلات نادری، سرخس، تربت جام، فریمان و اطراف مشهد قابل مشاهده هستند. برخی از این رسوبات بر روی نقشه‌های زمین‌شناسی (۱:۱۰۰۰۰۰ و ۱:۲۵۰۰۰۰) نشان داده شده اند. ویژگی‌های برخی از این رسوبات نیز توسط کریمی و همکاران (۲۰۰۹) و اخروی و امینی (۲۰۰۳) مطالعه شده است. رسوبات لسی در این محدوده از ایران در امتداد رسوبات لسی آسیای میانه و چین قرار دارند ولی اطلاعات کمی درباره ویژگی‌ها و پراکنش آنها وجود دارد. در این مطالعه سعی شده پراکنش رسوبات لسی، ویژگی‌های توزیع اندازه ذرات آنها، ویژگی‌های بافت سطحی و شکل ذرات کوارتز، منشا احتمالی آنها، تعیین فاصله از محل برداشت و تبیین فرایندهای تشکیل و تجمع رسوبات لسی در شمال شرق ایران تعیین گردد.

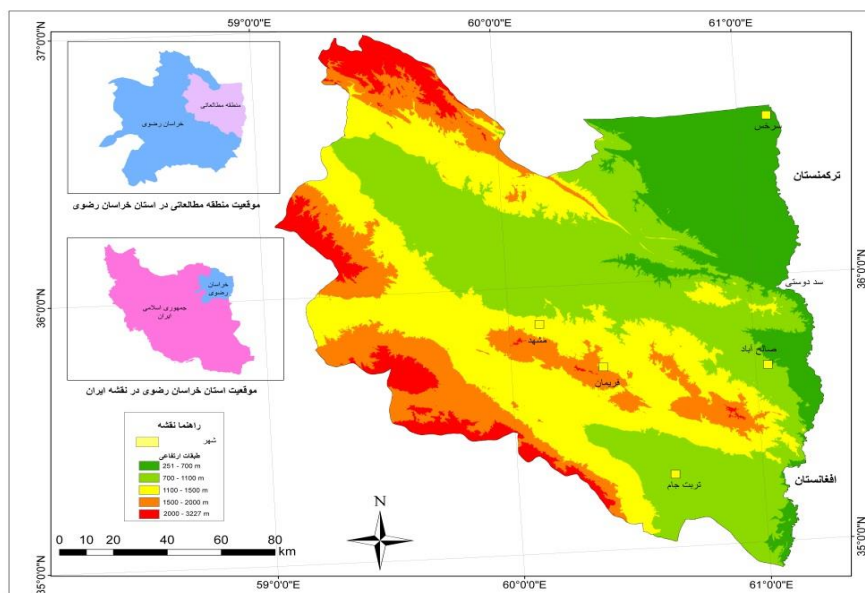
## مواد و روش منطقه مطالعاتی

منطقه مورد مطالعه در این پژوهش لسه‌های واقع در منتهی‌الیه شرقی و جنوب شرقی رشته کوه کپه داغ، محدوده سرخس و صالح آباد همچنین بخشی از بینالود (در ادامه البرز و ایران مرکزی) و ناحیه کپه داغ را شامل می‌شود. محدوده فریمان، تربت جام و جنوب مشهد در عرض‌های جغرافیایی و  $20^{\circ} 35^{\prime}$  تا  $59^{\circ} 36^{\prime}$  شمالی و طول‌های جغرافیایی  $50^{\circ} 59^{\prime}$  تا  $20^{\circ} 61^{\prime}$  شرقی را شامل می‌گردد (شکل ۲).

### ویژگی‌های محیطی منطقه مورد مطالعه

از دیدگاه زمین‌شناسی منطقه مورد مطالعه جزء از زون زمین‌ساختی هزار مسجد- کپه داغ می‌باشد. قدیمی ترین واحدهای سنگی این زون متعلق به دوران اول زمین‌شناسی می‌باشد که در منطقه مورد مطالعه ما رخمنون دارند و رسوبات دوران دوم و سوم نیز با خصامت نسبتاً کمی قابل مشاهده می‌باشد. از نگاه پیکرشناسی، کپه داغ منطقه‌ای کوهستانی است که فاز پایانی آپی در تشکیل سیمای امروزی آن نقش اساسی داشته‌اند. ریخت‌شناسی منطقه جوان است و توپوگرافی آن، در رابطه مستقیم با ساختارهای زمین‌شناسی هستند. ویژگی‌های لیتولوژیکی توده سنگی واحدهای مختلف زمین‌شناسی در این محدوده بگونه‌ایست که رخمنون‌های محدودی از سنگ پی قابل مشاهده می‌باشد آنهم به دلیل آنکه خصامتهای عظیمی از مواد سطحی آن را پوشانیده که در نقشه‌های زمین‌شناسی از آن اثری ملاحظه نمی‌شود، یعنی در این نقشه‌ها بیشتر سنگ زیربنا نشان داده شده و مواد سست سطحی که همان لس‌ها هستند فقط در بازدیدهای میدانی قابل مشاهده هستند. ولی انتباط نمونه‌های اخذ شده از گمانه‌های مختلف امکان تحدید حدود سازنده‌ای مختلف زمین‌شناسی را فراهم کرده است. واحدهای سنگی منطقه مورد مطالعه عمده‌ای از شیل، مارن، کنگلومرا، آهک، ماسه سنگ می‌باشد.

منطقه مورد مطالعه جزو سیستم ناهمواری کپه داغ است که شکل و سمت‌سوی ناهمواری‌ها تحت تاثیر دو صفحه توران و ایران می‌باشد. ارتفاعات در این منطقه دارای روند شمال غرب - جنوب شرق می‌باشد و میانگین ارتفاع در این منطقه ۱۶۹۱ متر می‌باشد و بلندترین نقطه ۳۲۲۷ متر و کم ارتفاع‌ترین نقطه ۲۵۱ متر ارتفاع از سطح آبهای آزاد دارند، به لحاظ توزیع مکانی همانطور که در نقشه (شکل ۳) قابل مشاهده می‌باشد مرتفع ترین نقطه در جنوب غربی منطقه واقع شده و پست‌ترین نقطه در شمال شرقی منطقه و نزدیک به دشت سرخس واقع شده است و هرچه قدر از سمت شمال شرق به جنوب غرب حرکت می‌کنیم ارتفاع بیشتر می‌شود و اختلاف ارتفاع بین مرتفع ترین و پست ترین نقطه در این منطقه ۲۹۷۶ متر می‌باشد که این خود حکایت از کوهستانی بودن منطقه دارد.



شکل ۳: نقشه طبقه‌بندی ارتفاعی منطقه مورد مطالعه

جهت بررسی های اقلیمی منطقه مورد مطالعه از داده های اقلیمی ایستگاه های هواشناسی سینوپتیک که در محدوده مطالعاتی وجود دارند شامل ایستگاه های سرخس، تربت جام، فریمان و مشهد طی دوره آماری از ابتدای تاسیس تا سال ۲۰۱۷ میلادی استفاده شده است. پس از آنالیز داده ها نوع اقلیم منطقه بر اساس طبقه بندی اقلیمی کوپن در هر چهار ایستگاه اقلیم استپی تعیین گردید و بر اساس طبقه بندی دمازنگاری ایستگاه مشهد و فریمان دارای اقلیم نیمه خشک و ایستگاه تربت جام و سرخس دارای اقلیم خشک هستند و همچنین بر اساس طبقه بندی آبریزه ایستگاه های مشهد و فریمان دارای اقلیم نیمه خشک سردد و ایستگاه های تربت جام و سرخس دارای اقلیم خشک و سردد می باشند و در نهایت بر اساس طبقه بندی ایوانف کلیه ایستگاه ها دارای اقلیم صحراوی می باشند (عیسی پور، ۱۳۹۳، ۵۸). میانگین بارندگی سالانه در ایستگاه های هواشناسی مشهد، تربت جام، فریمان و سرخس به ترتیب ۱۸۷,۱، ۲۵۵,۷، ۲۴۹,۴۵، ۱۶۳ و ۱۳۹۶ میلی متر می باشد و میانگین دمای سالانه در ایستگاه های هواشناسی مشهد، تربت جام، فریمان و سرخس به ترتیب ۱۴,۴۷، ۱۵,۸، ۱۳,۹۶ و ۱۸,۱۲ درجه سانتی گراد می باشد (جدول ۱) رژیم رطوبتی خاک، اریدیک در مرز زریک<sup>۱</sup> و رژیم حرارتی منطقه مطالعاتی مزیک<sup>۲</sup> می باشد. جهت بررسی خصوصیات مختلف باد شامل جهت و سرعت وزش باد غالب، باد آرام، و سرعت متوسط باد، از آمار ایستگاه های سینوپتیک منطقه استفاده شده و نتایج محاسبات در جدول (۲) ارائه گردیده است. با توجه به جدول مورد اشاره ملاحظه می شود که جهت وزش باد غالب در ایستگاه سینوپتیک سرخس، تربت جام، فریمان و مشهد عمدتاً از جهت شمال غرب می باشد و فقط در ماههای اوت و سپتامبر (مرداد و شهریور) جهت آن شمالی است. همچنین مشاهده می شود که در ماههای نوامبر و دسامبر (آبان و آذر) درصد باد غالب ماهانه کمترین مقدار بوده و پس از آن به تدریج افزایش یافته و در ماه ژوئیه (تیرماه) به حداقل مقدار خود می رسد. سرعت وزش باد غالب نیز در ماه ژوئیه (تیر ما) حداقل و در ماه دسامبر (آذرماه) به حداقل می رسد. درصد باد آرام نیز در ماههای اکتبر و نوامبر (مهر و آبان ما) بیشترین و در ماه ژوئیه (تیر ما) کمترین مقدار را دارا می باشد. همچنین با توجه به جدول فوق مشاهده می شود که در نوامبر (آبان

ماه) با سرعت ۱,۹ متر بر ثانیه پایین ترین سرعت را داشته و در ژوئیه (تیر ماه) با سرعت متوسط ۵,۸ متر بر ثانیه به حداقل سرعت خود می رسد.



شکل ۴: نمونه برداری رسوبات لسی

جدول ۱: خلاصه آمار اقلیمی ایستگاه های سینوپتیک منطقه مورد مطالعه (از ابتدای تاسیس تا سال ۲۰۱۷)

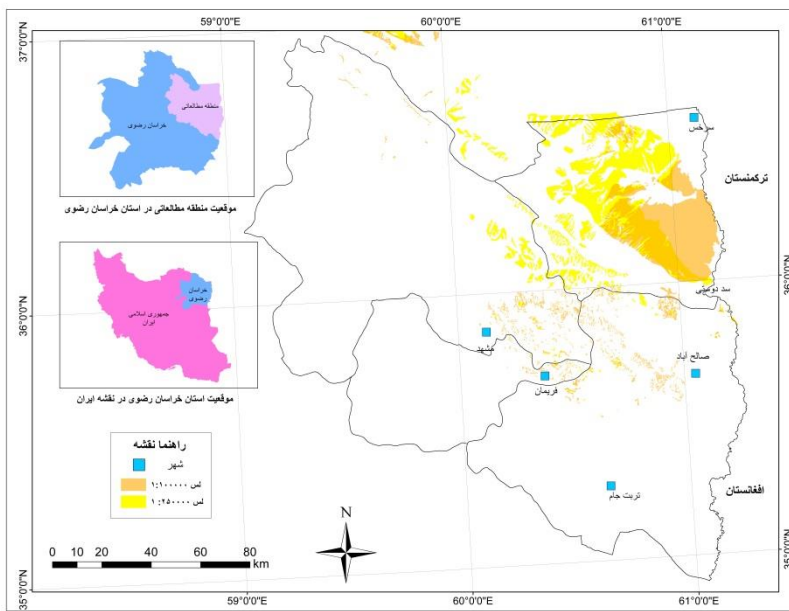
نام ایستگاه	دما (C)			بارندگی (میلیمتر)
	میانگین	حداکثر	حداقل	
مشهد	-۲۸	۴۳,۸	۱۴,۴۷	۲۴۹,۴۵
تربت جام	-۲۴	۴۴,۲	۱۵,۸	۱۶۳
فریمان	-۲۳,۶	۳۳,۶	۱۳,۹۶	۲۵۵,۷
سرخس	-۲۲,۴	۴۷,۴	۱۸,۱۲	۱۸۷,۱

**جدول ۲: سرعت و جهت باد غالب در صد باد آرام و سرعت متوسط بادهای مختلف در منطقه مورد مطالعه در طی دوره آماری موجود**

سالانه	سپتامبر	اوت	ژوئیه	ژوئن	مه	آوریل	مارس	فوریه	ژانویه	دسامبر	نومبر	اکتبر	ماه پارامتر	
													شمال	جنوب
—	شمال	شمال	شمال	شمال	شمال	شمال	شمال	شمال	شمال	شمال	شمال	شمال	شمال	شمال
—	شمال	شمال	شمال	شمال	شمال	شمال	شمال	شمال	شمال	شمال	شمال	شمال	شمال	شمال
۲۱	۲۱	۳۲	۳۳	۲۷	۲۲	۲۰	۲۰	۱۹	۱۷	۱۴	۱۴	۱۶	درصد	باد غالب
۵	۴,۲	۵	۵,۸	۵,۵	۵,۳	۵,۵	۵,۳	۵,۱	۴,۳	۴,۱	۴,۵	۵,۲	سرعت متوسط (m/s)	
۴۴	۴۶	۲۸	۲۲	۳۲	۴۹	۴۹	۵۱	۴۷	۴۷	۴۹	۵۴	۵۴	درصد	باد آرام
۲,۶	۲,۵	۳,۳	۴,۳	۳,۳	۲,۴	۲,۳	۲,۴	۲,۴	۲,۳	۲,۳	۱,۹	۲	سرعت متوسط (m/s)	متوسط

### مواد و روش‌ها

برای انجام این تحقیق ابتدا با استفاده از نقشه‌های زمین شناسی ۱:۱۰۰۰۰۰ و ۱:۲۵۰۰۰۰ نقشه پراکندگی لس‌ها در منطقه مورد مطالعه تهیه شد(شکل ۵)، سپس با بازدیدهای میدانی گستردگی و پیمایش بیش از ۱۰۰ کیلومتر، بر اساس ویژگی‌های ژئومورفیک و توپوگرافی، محدوده رسوبات لسی شناسایی شد و در مجموع ۱۱۹ نمونه سطحی برداشت شد(شکل ۴) که با توجه به بالا بودن هزینه انجام آزمایش توزیع اندازه ذرات و آزمایش مورفوسکبی(SSEM) از این تعداد ۲۰ نمونه جهت آزمایش توزیع اندازه ذرات و ۴ نمونه جهت بررسی مورفوسکبی(SSEM) دانه‌های کوارتز به صورت پراکنده انتخاب گردید تا بتوان نتایج حاصل از آنالیزهای آزمایشگاهی را به کل منطقه مطالعاتی تعمیم داد. در هر نقطه، نمونه‌های مرکب برداشت شد، به این ترتیب که از چهار راس و مرکز یک مربع به ضلع حدود ۱۰۰ متر، پنج نمونه برداشت و پس از مخلوط کردن یک نمونه از آنها تهیه شد. نمونه‌ها از مناطقی برداشت شدند که باثبات و پایدار باشند و تحت تاثیر فرایندهای فرسایش، رسوب و خاکسازی قرار نگرفته باشند.



شکل ۵: نقشه پراکندگی رسوبات لسی بر مبنای نقشه های زمین شناسی ۱:۱۰۰۰۰۰ و ۱:۲۵۰۰۰۰.

#### آنالیزهای فیزیکی و شمیایی

در ۲۰ نمونه انتخابی ابتدا میزان گچ و آهک آنها مشخص شد، پس از خشک کردن نمونه ها با بکارگیری ۱۰ میلی لیتر آب اکسیژنه مواد آلی آنها مورد شستشو قرار گرفته و جدا شد. همچنین برای از بین کربناتهای آن با ۱۰ میلی لیتر اسید کلریدریک ۱۰ درصد مورد شستشوی مجدد قرار گرفت و در ادامه آماده سازی نمونه با ۱۰۰ میلی لیتر آب مقطر مخلوط شد و به مدت ۱۲ ساعت برای حذف یونهای اسیدی نگهداری شد. رسوبات باقی مانده بعد از جدا شدن و قبل از مشخص ساختن نوع بافت با مقدار ۱۰ میلی لیتر محلول (اسید نیتریک) در یک ویبراتور اولتراسونیک قرار گرفت. در پایان اندازه دانه ها در دستگاه آنالیز اندازه ذرات لیزری مالور ماستر سایز ۲۰۰۰ در آزمایشگاه مهندسی شیمی دانشکده مهندسی دانشگاه فردوسی مشهد اندازه گیری شد و میانگین اندازه دانه، انحراف معیار، کشیدگی و چولگی آن محاسبه گردید.

#### محاسبه پارامترهای توزیع اندازه ذرات

میانگین اندازه دانه ( $M_z$ ) ، انحراف معیار یا جورشدگی ( $\delta I$ )، چولگی (SK1) و کشیدگی (K) توسط معادلات زیر محاسبه گردید(سیمون جی، ۲۰۰۱):

$$M_z = \frac{\phi_{16} + \phi_{50} + \phi_{84}}{3}$$

$$\delta I = \frac{\phi_{84}-\phi_{16}}{4} + \frac{\phi_{95}-\phi_5}{6.6}$$

$$SK1 = \frac{\phi_{16} + \phi_{84}-2\phi_{50}}{2(\phi_{84}-\phi_{16})} + \frac{\phi_5 + \phi_{95} + 2\phi_{50}}{2(\phi_{95}-\phi_5)}$$

$$K = \frac{\phi_{95}-\phi_5}{2.44(\phi_{75}-\phi_{25})}$$

مقیاس فی ( $\phi$ ) اندازه دانه را بر حسب لگاریتم بیان می کند که مقیاس لگاریتمی بیان شده از برنامه (GRADISTAT) برای تجزیه و تحلیل توزیع اندازه ذرات و محاسبه پارامترهای اندازه دانه مورد استفاده قرار گرفت. کلاس های اندازه ذرات (GRADISTAT) به این قرار می باشد ماسه خیلی در شت ( $1 - 2$  میلی متر)، ماسه در شت ( $0,5 - 1$  میلی متر)، ماسه متوسط ( $0,25 - 0,5$  میلی

ذرات و محاسبه پارامترهای اندازه دانه مورد استفاده قرار گرفت. کلاس های اندازه ذرات (GRADISTAT) به این

متر)، ماسه ریز(۱۲۵-۰،۵ میلی متر)، ماسه خیلی ریز(۶۳-۱۲۵ میکرون)، سیلت خیلی درشت(۳۱-۶۳ میکرون)، سیلت متوسط(۸-۱۶ میکرون)، سیلت ریز(۴-۸ میکرون)، سیلت خیلی ریز(۲-۴ میکرون) و رس (کوچکتر از ۲ میکرون).

### آنالیز بافت سطحی ذرات کوارتز توسط میکروسکوپ الکترونی

شكل دانه در رسوبات لسی به ترکیب شیمیائی و ساختمان کریستالوگرافی، فرایندهای موثر در تشکیل آن و همچنین شدت تغییرات دیاژنزی و هوازدگی بستگی دارد. با استفاده از شکل سطح دانه‌ها، به خصوص دانه‌های کوارتز می‌توان تا حدودی به سنگ منشاء و محیط‌های رسوبی دانه‌ها پی‌برد و همچنین می‌توان فرایندهای موثر بر ذرات (آب، بادو...) را معین نمود (امینی، ۱۳۷۴). کوارتز ( $\text{SiO}_2$ ) در رسوبات به شکل کانی‌های کم و بیش فرسایش یافته مقاوم است دارای وزن مخصوص ۲/۶۵ و رنگ زرد، گلی، بنفش، آبی، و بی رنگ هستند، شکستگی آن بیشتر به صورت صدفی صورت می‌گیرد و دارای جلای صابونی یا شیری هستند و نوع شفاف آن از فراوانی بیشتری برخوردار است (نوع زرد آن فراوانتر است) و برخورد در اثر ضربات موجب خراشیدگی سطح آن در موقع حمل باد می‌گردد و به دلیل مقاومت نسبتاً بالایی که دارد برای آنالیز بافت سطحی ذره توسط میکروسکوپ الکترونی مناسب می‌باشد، کوارتز موجود در لسها غیر هوازده زاویه دار تا نیمه زاویه دار بوده، در حالیکه اگر هوازدگی و فعالیت شیمیائی محیط شدید باشد دانه‌های کوارتز بیشتر به حالت گرد شده مشاهده می‌شوند.

دانه‌های کوارتز از قسمت ماسه خیلی ریز مناسب آنالیزهای میکروسکوپ الکترونی می‌باشد؛ برای آماده سازی و جداسازی دانه‌های کوارتز قبل از اسکن دانه‌ها، ترکیب ژئوشیمیایی دانه‌ها با استفاده از طیف سنجی انرژی اشعه ایکس (EDAX) برای اطمینان از اینکه تنها ذرات کوارتز مورد تجزیه و تحلیل قرار گرفته برسی گردید و در نهایت بعد از پایان مراحل آماده سازی دانه‌های کوارتز نمونه‌ها توسط میکروسکوپ الکترونی روشی (SEM) آزمایشگاه مرکزی دانشگاه فردوسی مشهد مورد سنجش قرار گرفت و تصاویر لازم از نمونه‌ها استخراج شد.

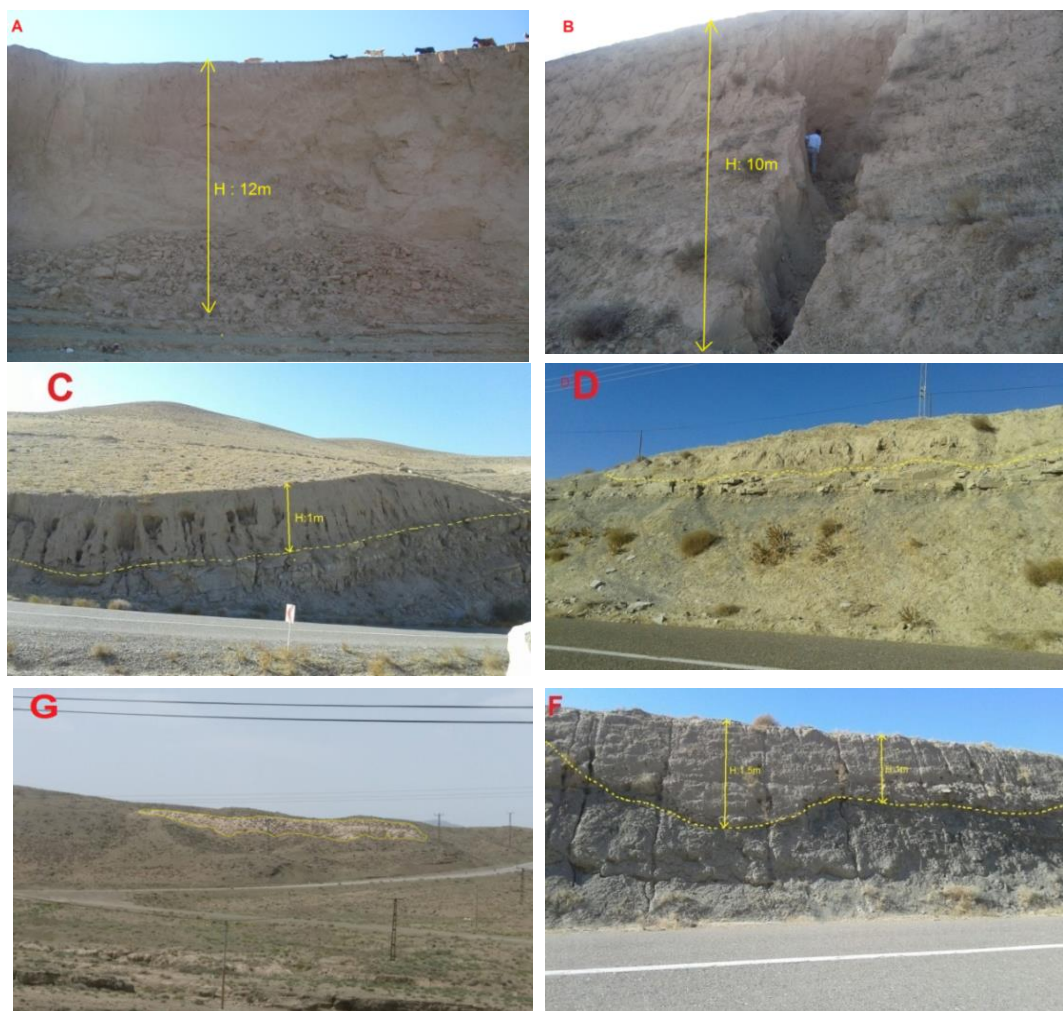
بعد از اتمام آزمایشات توزیع اندازه ذرات و آنالیز بافت سطحی ذرات کوارتز، تجزیه و تحلیل‌های توصیفی و آماری صورت می‌گیرد، که نتایج این تجزیه تحلیل‌ها در کنار بررسی نحوه پراکنش لسها در سطح زمین، جهت دامنه‌های پوشیده از لس و ویژگی‌های محیطی منطقه مطالعاتی می‌تواند ما را در مشخص کردن منشاء اصلی این رسوبات کمک کند.

### نتایج و بحث

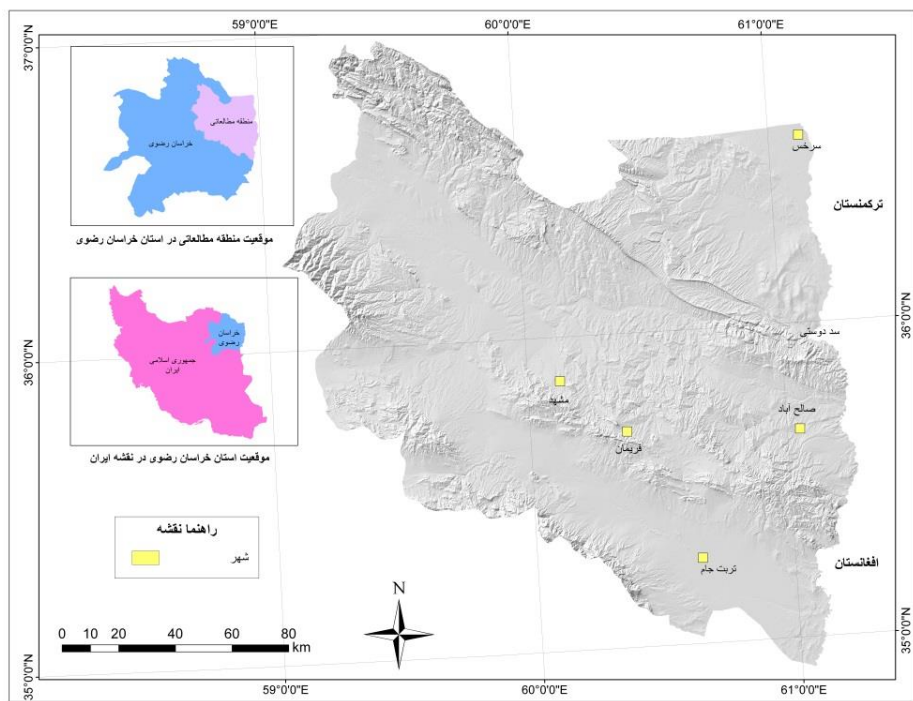
#### موقعیت پراکنش رسوبات لسی

با توجه به توپوگرافی منطقه، رشته کوهها در غرب و جنوب منطقه همچون سدی در برابر ذرات عمل کرده و به همراه پوشش گیاهی پراکنده، رسوب و انباشت ذرات را تسهیل کرده است و تا حدودی شرایط را برای تشکیل رسوبات لسی در منطقه فراهم کرده است. در بازیدهای میدانی گستردگی که انجام شده مشخص شد که رسوبات لسی بیشتر بر روی دامنه‌های با جهت شرق شمال شرق و شمالی نهشته شده بطوری که در اطراف سد دوستی، دامنه‌ها تا نزدیک قله پوشیده از لس هستند و دامنه‌های دیگر فاقد این رسوبات می‌باشند و دامنه‌های جنوبی اغلب سنگ ریزه ای هستند. به عبارتی دیگر پراکنده‌ی رسوبات لسی که از خاک ترکمنستان آغاز شده دارای یک مسیر انتقال شمال شرقی-جنوب غربی می‌باشد که هرچه به سمت جنوب غرب حرکت حرکت کنیم بر پراکنده‌ی رسوبات لسی افروده و از ضخامت آن لایه‌ها کاسته می‌شود (شکل ۵- C - F - D - G). در این میان بیشترین ضخامت رسوبات لسی با حدود ۱۰ متر مربوط به منطقه سرخس بوده است (شکل ۵-A-B).

در جدول شماره ۳ میانگین اندازه ذرات نمونه رسوبات لسی برداشت شده از منطقه مورد مطالعه و ارتفاع محل برداشت هر نمونه بیان شده است و همانطور که در جدول ۳ قابل مشاهده می‌باشد پست ترین نقطه ای که رسوبات لسی برداشت شده است ارتفاع ۵۰۷ متری از سطح دریا می‌باشد با میانگین ۸۲,۴۷ میکرون و مرتفع ترین نقطه ای که رسوبات لسی برداشت شده ارتفاع ۱۵۵۵ متر از سطح دریا می‌باشد با میانگین ۵ میکرون می‌باشد.



شکل ۶: ضخامت لایه‌های لسی در مناطق مختلف منطقه مورد مطالعه تصویر A: جاده مرزی سرخس (" $۳۵^{\circ} ۵۷' ۰۸'' - ۳۵^{\circ} ۵۷' ۲۹''$ )، B: محدوده سد دوستی (" $۳۵^{\circ} ۵۰' ۲۵'' - ۳۵^{\circ} ۵۰' ۹''$ )، C: جاده مرزی صالح آباد (" $۳۵^{\circ} ۴۱' ۱۳'' - ۳۵^{\circ} ۴۱' ۲۶''$ )، D: جاده مشهد-سرخس(چاهک) (" $۳۶^{\circ} ۸' ۲'' - ۳۶^{\circ} ۸' ۲''$ )، E: محدوده فرعی فریمان(کلاته منار) (" $۳۵^{\circ} ۵۲' ۱۷'' - ۳۵^{\circ} ۵۲' ۰۸''$ )، F: میامی (" $۳۶^{\circ} ۱۵' ۱۳'' - ۳۶^{\circ} ۱۵' ۰۹''$ )، G: ( $۳۶^{\circ} ۲۶' ۰۶'' - ۳۶^{\circ} ۲۶' ۰۶''$ )



شکل ۷: نقشه سایه روشن (hillshade) منطقه مطالعاتی

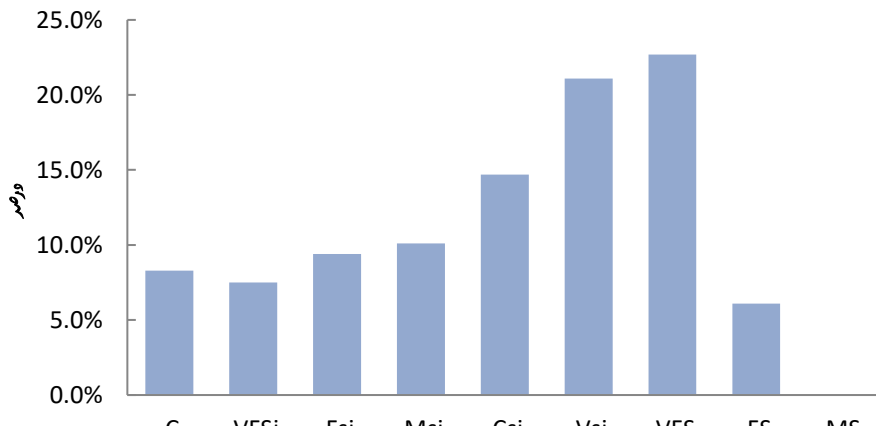
### آنالیز توزیع اندازه ذرات

نتایج حاصل از آنالیز اندازه ذرات نمونه‌های محدوده مورد مطالعه نشان داد(جدول ۳) که ذرات سیلت با میانگین ۶۲,۶۸ درصد و دامنه (۲۷ تا ۸۳ درصد) بیشترین فراوانی را نسبت به ذرات شن و رس داشته و ذرات شن بطور میانگین باع۲۸,۹۶ درصد(دامنه صفر تا ۷۱,۷ درصد) و رس با میانگین ۸,۳ درصد(دامنه ۱,۱ تا ۲۷,۲ درصد) در رتبه‌های بعدی قرار می‌گیرند. آن چه از جدول سه مشخص است که در بین ذرات ماسه خیلی ریز(۲۲,۷ درصد) و با فاصله اندک سیلت خیلی در شت(۲۱,۱ درصد) دارای بیشترین مقدار هستند. فقط نمونه‌های ۸۹، ۹۰، ۹۴ و ۱۰۱ که مجموع سیلت خیلی درشت و ماسه خیلی ریز آن بسیار اندک و میزان رس و سیلت خیلی ریز آن بسیار بالا می‌باشد. نکته دیگری که از جدول شماره سه قابل دریافت است فراوانی بیشتر آهک(۱۱,۵ درصد) نسبت به گچ(۳,۱۸ درصد) می‌باشد.

جدول ۳ توزیع اندازه ذرات، میزان گنج و اهدک و پارامترهای آماری نمونه ها

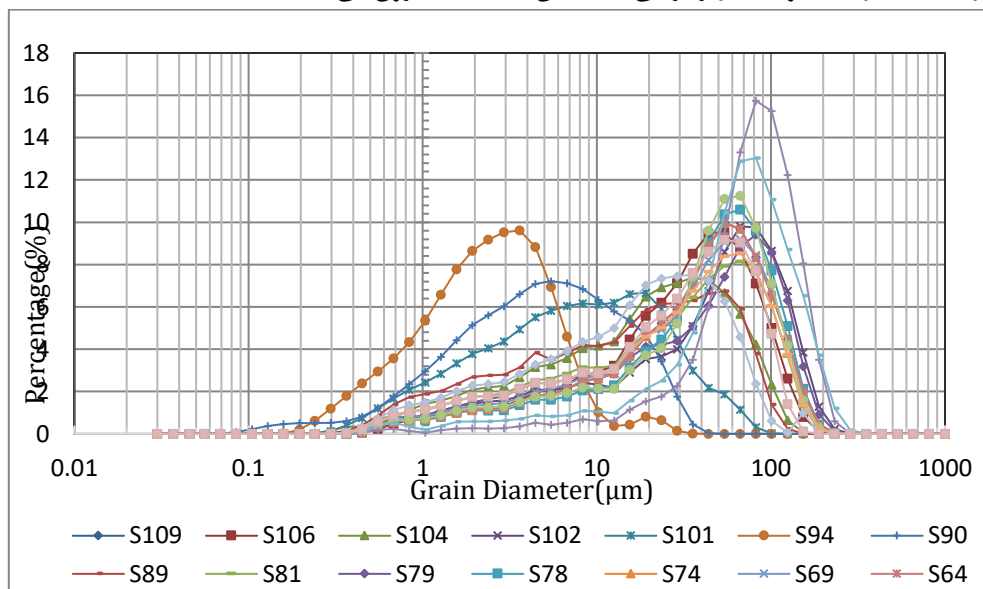
شماره نمونه	سطح دریا	ارتفاع از سطح دریا	میانگین اندازه ذرات	رس%	خلیل ریز%	سیلت خلیل	سیلت درشت	سیلت متوسط	سیلت ریز%	سیلت درشت%	تزن ریز%	تزن خلیل	سیلت	تزن%	چون	چون	جورندگی
۳۷۶	-۰.۵۲۲	-۰.۹۷	۲۵.۹	۱.۵	۲۶.۴	۵۷.۲	۲۶.۶	۱۶.۸	۹.۷	۷.۸	۶.۱	۶.۸	۲۳.۳۲	۵۵۹	۳۰		
۳۶۲	-۰.۳۹۷	-۰.۹۳	۱۰.۴	۱	۹.۴	۸۰.۴	۳۳.۶	۲۲.۷	۱۵.۱	۱۱	۸	۸.۸	۱۵.۵۷	۵۶۳	۳۴		
۳۹۹	-۰.۴	-۰.۹۵	۳۰.۲	۵.۳	۳۴.۹	۶۳	۳۳.۹	۱۵.۵	۹.۴	۷.۸	۶.۱	۶.۸	۲۰.۵۳	۵۰۸	۳۸		
۲۶۶	-۰.۳۸۱	۱.۶۱	۶۰.۶	۱۹.۲	۴۰.۴	۳۶.۸	۲۱.۵	۷.۳	۳.۴	۲.۸	۲	۲.۶	۶۰.۳۳	۴۶۲	۴۵		
۲.۱	-۰.۳۱۱	۱.۴۵	۷۱.۷	۱۲.۸	۴۷.۵	۷۷.۱	۱۷.۴	۵.۲	۲.۱	۱.۵	.۹	۱.۱	۸۲.۴۷	۵۷	۴۹		
۳.۳۸	-۰.۳۶۹	۱.۲	۳۷.۶	۶	۳۱.۶	۵۷.۹	۲۸	۱۲.۶	۷.۱	۵.۹	۴.۳	۴.۵	۲۲	۱۰.۷۴	۵۵		
۳.۶۴	-۰.۳۷۷	۱.۷	۳۰.۵	۶.۲	۲۲.۳	۶۵	۲۵.۶	۱۷.۸	۱۰.۴	۶.۹	۴.۳	۴.۶	۳۰.۰۶	۸۱۴	۶۴		
۳۵۸	-۰.۴۰۳	۱.۰۶	۲۴.۱	۶.۷	۱۷.۴	۶۰.۹	۲۴.۹	۱۵.۴	۹.۱	۶.۸	۴.۷	۴.۸	۳۱.۱	۹۶۲	۶۹		
۲۹۵	-۰.۳۶۶	۱.۱۳	۳۵	۶.۹	۲۸.۱	۶۲.۲	۳۰.۲	۱۵.۸	۷.۴	۵.۲	۳.۵	۲.۷	۲۷.۶۶	۸۸۲	۷۴		
۳.۳۹	-۰.۳۵۳	۱.۱۳	۲۸.۸	۷.۶	۳۱.۲	۵۶.۴	۲۶.۸	۱۳.۴	۷.۱	۵.۳	۳.۸	۴.۸	۳۵	۹.۰۱	۷۸		
۳.۹۳	-۰.۳۱۶	۰.۹۱۵	۳۶.۶	۱۰.۵	۱۹.۲	۵۵.۵	۱۹.۱	۱۳.۴	۹.۳	۷.۹	۵.۶	۵	۳۶.۳۵	۶۷۴	۷۹		
۴.۰۲	-۰.۳۷۱	۰.۹۲	۲۹.۴	۵.۱	۲۷.۳	۵۲.۶	۲۲.۷	۱۵.۶	۱۰.۵	۸.۶	۶.۲	۷	۲۶.۵۰	۸۷۴	۸۱		
۴.۰۹	-۰.۳۶	-۰.۸۳	۱۲.۵	-۰.۲	۱۳.۱	۷۰.۷	۲۱.۴	۱۹.۱	۱۳.۹	۱۲	۹.۳	۱۱	۱۴.۴۹	۱.۹۹	۸۹		
۴.۰۷	-۰.۱۱۷	-۰.۹۴۶	-	-	-	۷۹.۲	۱۶	۱۳.۹	۲۱.۳	۲۳.۴	۱۹	۲۰.۸	۵.۴۳	۱۱۵۶	۹۰		
۴.۴	-۰.۱۳۲	-۰.۹۸۹	-	-	-	۶۲.۷	۰.۱	۱.۹	۵.۳	۲.۵	۳۰	۲۷.۲	۲.۶	۱۴۵۹	۹۴		
۳.۴۲	-۰.۱۲۶	-۰.۹۰۳	۲.۱	-	۲.۱	۸۳	۹.۳	۲۰.۵	۱۸.۷	۱۳.۹	۱۵.۱	۷.۶۸	۱۳۷۶	۱۰۱			
۴	-۰.۴۸	۱.۰۳	۴۲.۱	۱۱.۹	۳۱	۵۱.۵	۲۰.۳	۱۱.۴	۷.۷	۶.۸	۵.۱	۵.۶	۵	۱۰۵۵	۱۰۲		
۳.۷۷	-۰.۴۹	-۰.۹۳۷	۱۵	-۰.۷	۱۴.۳	۷۶.۸	۲۳.۸	۲۱.۲	۱۳.۸	۱۰.۶	۷.۴	۸.۱	۱۷.۶۳	۱۰۲۵	۱۰۴		
۳.۲۱	-۰.۴۶	۱.۱۳	۲۷.۳	۳.۵	۲۳.۸	۶۸.۵	۱۹.۱	۱۸.۶	۹.۸	۶.۷	۴.۳	۴.۲	۱۹.۴۲	۱.۷۴	۱۰۶		
۳.۳۶	-۰.۴	۱.۱۳۲	۳۴.۷	۶.۹	۲۷.۸	۶۱.۱	۲۶.۷	۱۵.۵	۸.۷	۶.۱	۴.۱	۴.۳	۲۳.۵۸	۱۱.۰۳	۱۰۹		

شکل ۸ میانگین توزیع اندازه ذرات محدوده های لسی منطقه مورد مطالعه را نشان می دهد. با توجه به فراوانی بیشتر ذرات ماسه در اغلب نمونه ها(بیش از ۲۰ درصد حجم نمونه) بر اساس تعریف پای می توان بافت رسوبات لسی محدوده مورد مطالعه را از نوع لس ماسه ای (شکل ۸) در نظر گرفت. ذرات سیلت ریز تا بسیار ریز بیشترین حجم را در نمونه های ۹۴ و ۹۰ و ۱۰۱ تشکیل داده در حالیکه مقادیر ذرات ماسه در نمونه های ۹۶ و ۱۰۱ و صفر و در نمونه ۱۰۱ عدد ۲/۱ درصد است. بیش از ۶۰ درصد ذرات نمونه های ۴۵ و ۴۹ را ماسه تشکیل می دهد(جدول ۳).

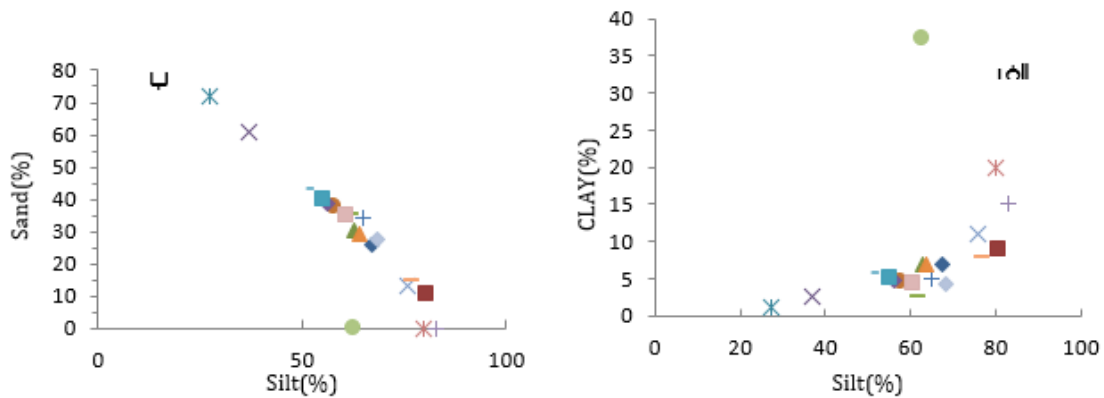


شکل ۸: نمودار میانگین توزیع اندازه ذرات رسوبات لسی(میکرون)  
VCS:شن خلیل درشت، CS:شن درشت، MS:شن متوسط، FS:شن ریز، VFS:شن خلیل ریز، V:سیلت درشت، FSi:سیلت متوسط، FSi:سیلت ریز و C:رس

در شکل ۹ منحنی توزیع فراوانی اندازه ذرات آورده شده است که نشان می‌دهد منحنی فرکانس اندازه ذرات دارای یک الگوی یکنواخت و تک نمایی می‌باشد، نمای اندازه ذرات از ۵۰ میکرون تا نزدیک ۱۰۰ میکرون متفاوت می‌باشد و فرکانس توزیع اندازه دانه‌ها در سه نمونه که ریز‌تر می‌باشند بین ۵ تا ۱۱ میکرون می‌باشد.

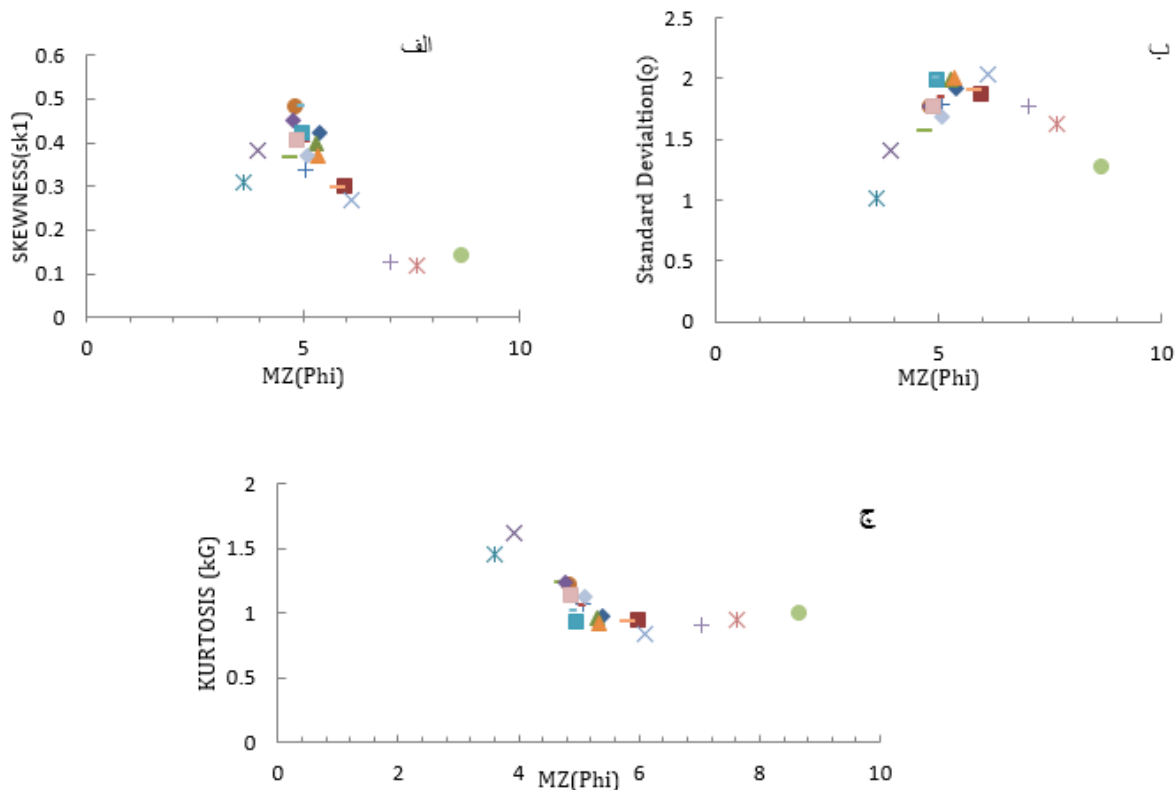


شکل ۹: منحنی توزیع اندازه ذرات



شکل ۱۰: الف: همبستگی بین سیلت و شن ب: همبستگی بین سیلت و رس نمونه‌های لس منطقه

سیلت به عنوان ذره غالب در رسوبات لسی می‌باشد و معمولاً فراوانی آن بیش از ۵۰ درصد اندازه ذرات است در حالی که مقادیر رس و ماسه در این رسوبات متفاوت است. همانطور که در (شکل ۱۰) مشاهده می‌گردد بین مقادیر ذرات سیلت و رس همبستگی مثبت و بین مقادیر سیلت و ماسه رسوبات لسی همبستگی منفی وجود دارد به عبارت دیگر با افزایش میزان سیلت در رسوبات مقادیر رس آنها هم افزایش می‌یابد و با کاهش مقادیر سیلت در نمونه‌ها مقادیر ماسه افزایش می‌یابد.



شکل ۱۱: الف: همبستگی بین اندازه ذرات و چولگی ب: همبستگی بین اندازه ذرات و انحراف معیار ج: همبستگی بین اندازه ذرات و کشیدگی نمونه های لس منطقه

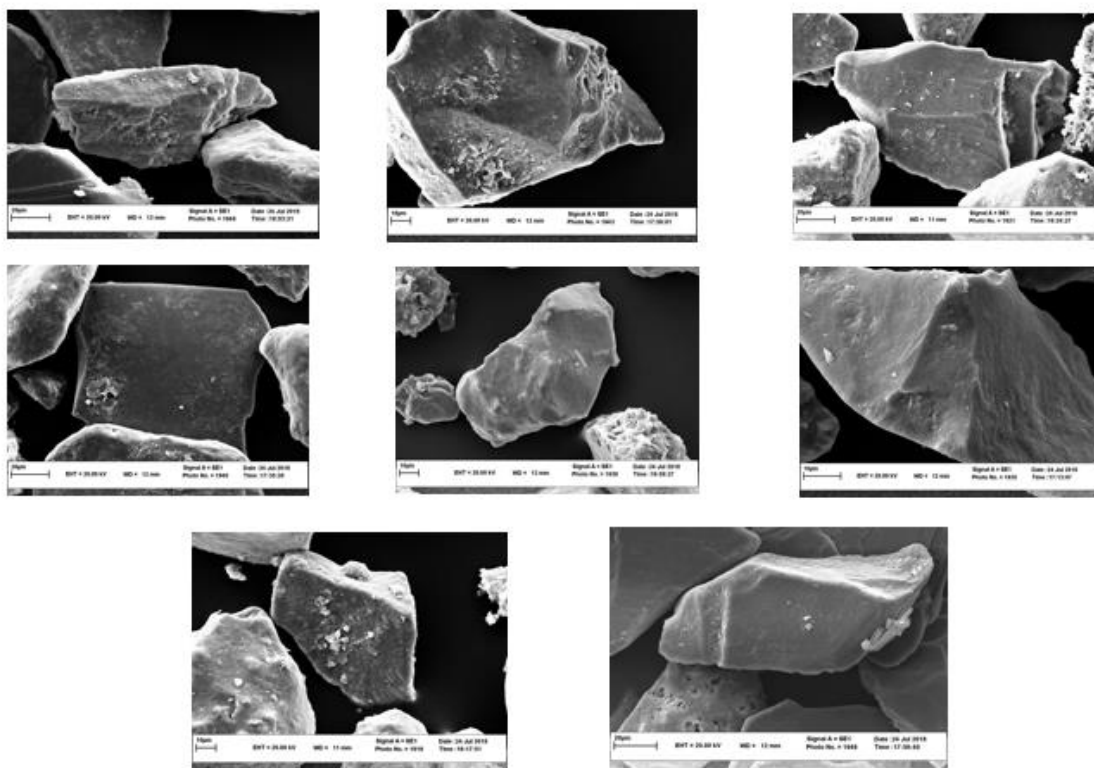
جهت بررسی چگونگی الگوی پراکندگی از چهار پارامتر میانگین اندازه دانه (MZ)، انحراف معیار یا جورشدگی (r)، چولگی (KG) و کشیدگی (SK1) استفاده شده که می توان از این پارامترها در تفسیر ویژگی های رسوبی، تشخیص محیط های رسوب گذاری و همین طور منشاء و محل برداشت رسوب استفاده کرد که مقادیر آن در جدول ۳ ارایه شده است. دامنه تغییرات اندازه دانه ها در یک رسوب را جورشدگی گویند یا به عبارتی جورشدگی، یکنواختی اندازه ذرات یک رسوب را نشان می دهد (ارزانی، ۱۳۸۱، ص ۲۱). مقادیر (I) برای هر رسوب بطور مجزا نشان دهنده این است که ذرات تشکیل دهنده رسوب تا چه اندازه قطر انها به یکدیگر نزدیک است (کریم زاده، ۱۳۸۱، ص ۴۳۰) فولک بر اساس مقدار انحراف معیار (خلیلی زاده، ۱۳۸۲، ص ۱۷۷) در یک رسوب، طبقه بندی را برای نوع جور شدگی ذرات ارائه داده است که در آن ذرات به هفت طبقه از جورشدگی بسیار خوب (<۰/۳۵)، خوب (۰/۵ - ۰/۳۵)، نسبتاً خوب (۰/۷۱ - ۰/۰۵)، متوسط (۰/۷۱ - ۰/۰۵)، بد (۰/۰۵ - ۰/۰۲)، خوب بد (۰/۰۲ - ۰/۰۱) و بشدت بد (۰/۰۱ >) تقسیم می گردند. بر مبنای این طبقه بندی با توجه به مقدار انحراف معیار (جدول ۳) در نمونه ها (۲ تا ۴) رسوبات لسی منطقه در طبقه دارای یک جورشدگی خیلی بد قرار میگیرد. کج شدگی یا چولگی عبارت است از نامتقارن یا نامتراجنس بودن نمودار توزیع ذرات که تو سط دنباله نمودار م شخص می شود. در نمودار های متقارن کج شدگی صفر است ولی در نمودارهایی که بیشترین انحراف در جهت ذرات درشت و یا عبارتی دنباله نمودار به طرف راست یا رسوبات دانه ریز (در صورتی که محور X بر حسب مقیاس فی باشد) متمایل باشد، کج شدگی را مثبت می گویند و نشان دهنده فراوانی مواد دانه ریز در صورتی که بیشترین انحراف در جهت ذرات ریز و یا عبارتی دنباله نمودار به طرف چپ یا رسوبات درشت دانه (در صورتی که محور X بر حسب مقیاس فی باشد) متمایل باشد

کج شدگی را منفی می‌گویند و نشان دهنده فراوانی مواد دانه درشت می‌باشد. نمودار توزیع اندازه ذرات نمونه‌ها منطقه مطالعاتی دارای یک کج شدگی منفی می‌باشد که این خود نشان از فراوانی مواد دانه درشت در نمونه‌ها می‌باشد. فولک بر اساس مقدار عدد چولگی یا کج شدگی (از زانی، ۱۳۸۱، ص ۳۶) در یک رسوب، طبقه بندی را برای نوع تو صیف کج شدگی ذرات ارائه داده است که در آن ذرات به پنج طبقه از کج شدگی به شدت ریزدانه ( $+0/0$ ) + تا  $+0/3$ ، کج شدگی ریزدانه ( $+0/3$  تا  $+0/1$ +)، تقریباً متقارن ( $+0/1$  تا  $-0/1$ +)، کج شدگی درشت دانه ( $-0/3$  تا  $-0/0$ ) و کج شدگی به شدت درشت دانه ( $-0/0$  تا  $-1/1$ ) تقسیم می‌گردند. که بر اساس این طبقه بندی با توجه به عدد چولگی ( $117$  تا  $483$ ) نمونه‌ها (جدول ۳) در طبقه کج شدگی به شدت درشت دانه قرار می‌گیرد.

کشیدگی یا نوک تیزی (kg) عبارت از نسبت جور شدگی دنباله نمودار (در طرفین آن) به جور شدگی قسمت وسط نمودار می‌باشد. این نسبت تو سط فولک ارائه شده و مقدار بلندی نمودار بطریق ترسیمی بدست می‌اید. بطور کلی در نمودارهای نرمال مقدار قطر بدست امده در مقیاس فی از طریق نمودار احتمالی (نموداری است که مقیاس محور فراوانی نسبی به جای مقیاس حسابی به صروت مقیاس احتمالی می‌باشد) بین نقاط  $5/95$  و  $5/25$  برابر مقدار قطر بدست امده بین نقاط  $5/25$  و  $5/75$  در صد باشد. بنابراین در نمودار تجمعی با مقیاس احتمالی، توزیع به صورت خط مستقیم و مقدار بلندی برابر ۱ است. لذا هر گونه انحراف از این خط مستقیم (یا انحراف از مقدار  $2/44$ ) باعث تغییر مقدار نسبت فوق می‌شود (پروین، ۱۳۷۸، ص ۱۹۱). فولک بر اساس مقدار عدد کشیدگی در یک رسوب، طبقه بندی را برای نوع توصیف کشیدگی ذرات ارائه داده است که در آن ذرات به شش طبقه از کشیدگی بسیار پهن ( $>0/67$ )، کشیدگی پهن ( $0/67$  تا  $-0/09$ )، کشیدگی متوسط ( $-0/9$  تا  $-1/11$ )، کشیدگی نوک تیز ( $-1/5$  تا  $-1/11$ )، کشیدگی بسیار نوک تیز ( $-3$  تا  $-1/5$ ) و کشیدگی بشدت نوک تیز ( $>3$ ) تقسیم می‌گردد (پروین، ۱۳۷۸، ص ۱۹۱). که بر اساس این طبقه بندی با توجه به عدد کشیدگی ( $-0/9$  تا  $-0/6$ ) نمونه‌ها (جدول ۳) در طبقه معمولی یا متوسط تا نوک تیز قرار می‌گیرد.

### مورفوسکپی دانه‌های کوارتز

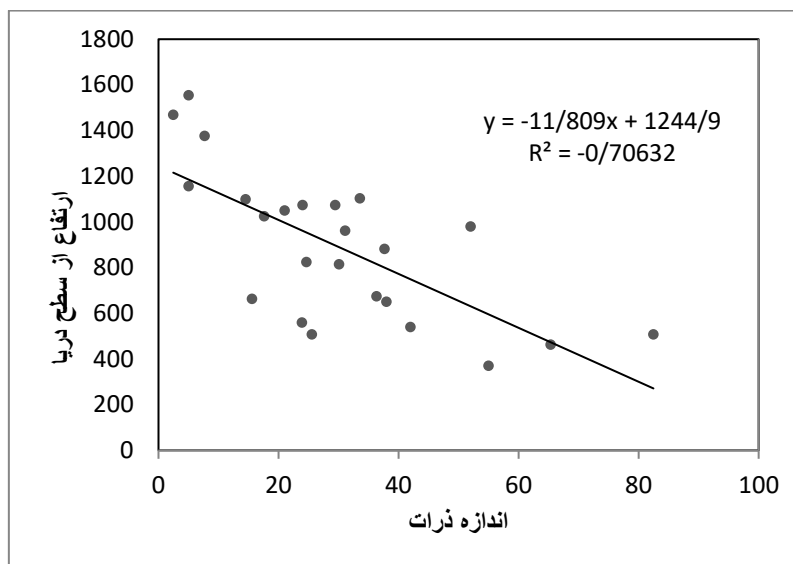
بر اساس نتایج آنالیز مورفوسکپی (SEM) (شکل ۱۲) دانه‌های کوارتز در ۴ نمونه انتخاب شده از منطقه که به صورت تصادفی انتخاب شده نشان می‌دهد کانیهای کوارتز در نمونه‌ها عمدهاً زاویه دار که میزان گرد شدگی آنها ناچیز و دارای شکستگی‌های متعدد می‌باشند، تفاوت‌های اندک در ویژگی‌های آنها خود دلیلی بر مشابهت در شرایط انتقال آنهاست. ضریب سایش نمونه‌ها بین  $100$  تا  $210$  (سایش کم) متفاوت می‌باشد. از نظر بافت سطحی، دانه‌های کوارتز عمدها هاله مانند (نیمه درخشان) و بعضی مات می‌باشند، هاله مانند بودن اکثر ذرات کوارتز بیانگر این است که در مقطعی از زمان این ذرات در بسترها رودخانه ایی توسط جریان آب حمل می‌شده و متأثر از این جریانات به صورت درخشان بوده اند سپس با برقراری شرایط خشکی و حاکمیت باد، حمل شده ولی مسافتی را که اینها پیموده اند در حد متوسط بوده و فرست کافی جهت مات شدن که ناشی از سایش در حین حمل می‌باشد پیدا نکرده و رسوب گذاری شده اند و ذراتی که مسافت بیشتری در معرض سایش بادی بوده اند مات هستند و همچنین یکی از دلایل مات بودن را می‌توان اینگونه بیان کرد وجود لایه‌هایی از آهک ثانویه و نیز بر اثر رنگ آمیزی اکسیدهای آهن می‌باشد. به عبارتی می‌توان ذرات هاله مانند را به منشا نزدیکتر و ذرات مات را منشا دور نسبت داد (امینی، ۱۳۷۴، ۵۴).



شکل ۱۲: تصاویر اسکن شده دانه های کوارتز

### نتیجه گیری

ارتفاعات در تشکیل رسوبات لسی در شمال ایران، منطقه قره تیکان در خراسان شمالی(اخروی، ۲۰۰۱، ۱۵)، همچنین در جنوب مشهد (کریمی، ۲۰۰۹، ۵۵۰) و منطقه مطالعه رسوبات لسی بر روی آنها انباست شده، دارای جهت شرق، شمال شرق و شمالی می باشد. به عبارتی دیگر پراکندگی رسوبات لسی که از خاک ترکمنستان آغاز شده دارای یک مسیر انتقال شمال شرقی-جنوب غربی می باشد که این مسیر انتقال با جهت باد غالب امروزی کاملاً متفاوت می باشد و همانطور که در مبحث اقلیم منطقه بیان شد باد غالب امروزی دارای یک جهت شمال غرب - جنوب شرق می باشد که می توان این نتیجه را دریافت کرد که باد غالب منطقه در زمان رسوبگذاری لسها دارای جهت شمال شرق - جنوب غرب بوده است. نتایج حاصل از آزمون همبستگی بین ارتفاع و میانگین اندازه ذرات نشان می دهد که بین ارتفاع و میانگین اندازه ذرات نمونه ها همبستگی منفی قوی وجود دارد و هرچه به ارتفاع برداشت نمونه افزوده می شود میانگین اندازه ذرات آن کوچکتر می شود و ضریب همبستگی آن -۷/۰ می باشد(شکل ۱۴) که دلیل آن را می توان اینگونه بیان کرد که ذرات در شت تر به صورت جهیدن منتقل می شوند و معمولاً در ارتفاعات پای دامنه به دام می افتد و ذرات ریزتر به صورت معلق در هوا در غالب گرد و غبار منتقل می شوند که می توانند تا ارتفاعات نیز نفوذ کنند همچنین انتقال رسوبها در مسیر بادهای غالب باعث جور شدگی بیشتر ذرات گردیده و با طی مسافت بیشتر از مبدأ قطر ذرات ریزتر شده و رسوبهای سیلتی نهشته می گردد(پای، ۱۹۹۵، ۶۴۰).



شکل ۱۴: همبستگی بین ارتفاع و میانگین اندازه ذرات

نتایج حاصل از بررسی های توزیع اندازه ذرات نشان می دهد که رسوبات لسی محدوده مورد مطالعه عمده از نوع ماسه ای هستند که توسط فرایند بادی انتقال یافته اند، در تجزیه تحلیل نتایج آزمایش توزیع اندازه ذرات در نمونه های مورد مشاهده فراوانی مقادیر ذرات سیلت بیش از مقادیر ذرات ماسه و رس بوده، و این شرایط نسبتا مشابه رسوبات لسی شمال غرب چین در بیابان کامتا(واندنبرق<sup>۱</sup>) وجود دارد. در بررسی دقیقت نتایج توزیع اندازه ذرات رسوبات لسی منطقه مشخص گردید، ماسه خیلی ریز دارای بیشترین درصد و سیلت خیلی درشت و سیلت درشت بخش غالب رسوبات را تشکیل می دهدن. عدم وجود سنگریزه و ماسه خیلی درشت در این رسوبات و فراوانی بیشتر ماسه خیلی ریز و سیلت که به سادگی توسط باد منتقل می شوند خود دلیلی بر بادرفتی بودن آنهاست. همچنین فراوانی کلوخه های آهکی رسی و مقدار اندک کلوخه های گچی رسی در نمونه های لس منطقه بیانگر شرایط مرطوب با آبشویی بیشتر محل برداشت رسوبات لسی در مبدأ می باشد که این خود دلیلی بر این مسئله است که این رسوبات از حاشیه پادگانه های آبرفتی یا دشت های آبرفتی رودخانه ها یا بستر رودخانه های قدیمی حمل شده است. در این رابطه شاید بتوان بستر رودخانه هربرود یا محدوده های خشک و بیابانی آنسوی این رودخانه واقع در کشور ترکمنستان و همینطور بسترها خشکرودها در دوره های خشک و کم باران کواترنر را منشاء رسوبات لسی محدوده مورد مطالعه دانست. منحنی توزیع فراوانی یا همان هیستوگرام اندازه ذرات در نمونه های مورد آزمایش دارای یک الگوی یکنواخت و تک نمایی می باشد که این مطلب می تواند این مسئله را روشن سازد که رسوبات لسی در این منطقه دارای یک منشا مشابه می باشند. یکی از شاخص های مهمی که ما را در تفسیر نتایج توزیع اندازه ذرات می تواند کمک کند، شاخص مد می باشد با توجه به مطالعات انجام شده، ذرات با نمای ۵۰ تا ۶۰ میکرون از فواصل کمتر از ۳۰۰ کیلومتر و ذرات با نمای ۳ تا ۸ میکرون از مسافت دورتر (۵۰۰ تا ۲۰۰۰ کیلومتر) حمل شده اند(سودمند، ۱۳۹۲، ۳۲). در این رابطه می توان به غالب بودن سیلت درشت در رسوبات لسی رودخانه راین در مرکز اروپا(فریچن<sup>۲</sup>، ۱۹۹۸، ۵)، رسوبات لسی جنوب مشهد(کریمی، ۱۳۸۷، ۸۷) ویسکانسین آمریکا(مازولو<sup>۳</sup>، ۱۹۸۶، ۴۹) که ویژگی های مشابهی اشاره نمود که در فواصل کمتری نسبت به منشاء نهشته شده اند. در حالی که رسوبات لسی که دارای سیلت متوسط و ریز مانند رسوبات تاجیکستان(فریچن، ۱۹۹۸، ۱۸)، رسوبات شمال ایران منطقه مراوه په، گرگان و

31 Vandenberghe

32 Frechen

33 Mazzullo

دشلبرون(اخروی و امینی، ۲۰۰۱، ۱۸) هستند را می توان به مسافت طولانی انتقال و غیر محلی نسبت داده شده است. نتایج آزمایش توزیع اندازه ذرات ر رسوبات لسی منطقه نشان می دهد که بیشترین مقدار نما متعلق به ذرات ۵۹ میکرون بوده که شامل ذراتی به قطر سیلت درشت و ماسه های خیلی ریز است که دارای پیوستگی با رسوبات بسادرفتی شدنی نیز می یاشند که این واقعیت نشان دهنده فاصله اندک از منبع برداشت است.

میزان جور شدگی در نمونه های مدنظر عددی بین ۲ تا ۴ می باشد که بر اساس طبقه بندی فولک دارای یک جور شدگی خیلی بد می باشند، دامنه تغییرات اندازه ذرات، ویژگی های جریان و جور شدگی انتخابی شکل جز عوامل اصلی این نوع جور شدگی در منطقه می باشند. نمودار توزیع اندازه ذرات نمونه های منطقه مطالعاتی دارای یک کج شدگی منفی می باشد که این خود نشان از فراوانی مواد دانه در شست در نمونه ها می باشد، همچنین عدد چولگی در نمونه های برداشت شده در منطقه مطالعاتی بین ۱۱۷، ۴۸۳-۰ تا ۰-۴۸۳ می باشد که بر مبنای طبقه بندی فولک در طبقه کج شدگی به شدت درشت دانه قرار می گیرد که این دو مورد ذکر شده خود نشان دهنده رسوبگذاری در محیط پر انرژی و متلاطم در منطقه در زمان رسوب گذاری می باشند. عدد کشیدگی در نمونه های برداشت شده در منطقه مطالعاتی بین ۰-۹ تا ۱۶ می باشد که بر مبنای طبقه بندی فولک در طبقه معمولی یا متوسط تا کشیده یا نوک تیز قرار می گیرد. نتایج بدست آمده از اسکن دانه های کوارتز نشان می دهد که اکثر دانه ها دارای گرد شدگی کم و شکستگی های زاویه دار بوده، ضربی سایش کم نمونه های کوارتز بیانگر فاصله حمل خیلی زیاد نمی باشند همچنین هاله(کدر) مانند بودن ذرات بیانگر برداشت از بستر های رودخانه های قدیمی یا دشت های آبرفتی، مسافت حمل متوسط و قرار گرفتن در محیط های رسوبی بادی است و لذا شاهدی بر محلی بودن منشاء رسوبات می باشد. مطالعات نشان می دهد میانگین گرد شدگی ذرات کانی کوارتز از بخش ماسه خیلی درشت تا ماسه درشت افزایش و از بخش ماسه درشت تا ماسه خیلی ریز کاهش می یابد(خلف، ۱۹۸۵، ۸۸) که این مطلب در نمونه های منطقه ما کاملاً صدق می کند و از آنجایی که ما ماسه خیلی ریز در زمرة ذرات غالب در نمونه های منطقه می باشد این ویژگی ذکر شده در اسکن دانه های کوارتز کاملاً مشهود بود.

## منابع

- سودمند، علی؛ کریمی، علیرضا؛ خرمالی، فرهاد؛ امامی، حجت، ۱۳۹۳، پراکنش و ویژگیهای رسوبات لسی منطقه سرخس، نشریه آب و خاک (علوم و صنایع کشاورزی)، جلد ۲۸، ص ۱۰.
- سودمند، علی، ۱۳۹۲، پراکنش ویژگیهای رسوبشناسی و پدلوژیک لسه‌های منطقه سرخس، پایان نامه کارشناسی ارشد، دانشگاه فردوسی مشهد، استاد راهنمای دکتر علیرضا کریمی.
- کریمی، علی رضا کارویه، ۱۳۸۷، بررسی تکامل خاکها و تایین منشا و سن یابی رسوبات سیلتی در لندرمهای اطراف مشهد، رساله دکتری، دانشگاه صنعتی اصفهان.
- عیسی پور، مصطفی، ۱۳۹۳، تحلیل و پیش بینی سری های زمانی دما در استان خراسان رضوی با استفاده از مدل باکس - جنکینز(دوره آماری از ابتدای تاسیس ایستگاه ها تا سال ۲۰۱۱)، پایان نامه کارشناسی ارشد اقلیم شناسی، دانشگاه شهید بهشتی، استاد راهنمای دکتر محمود احمدی.
- کریم زاده، حمیدرضا، ۱۳۸۱. چگونگی تکوین و تکامل خاکها در لندرمهای مختلف و منشا یابی رسوبات فرسایش یافته بادی در منطقه شرق اصفهان. رساله دکتری. دانشگاه صنعتی اصفهان. ۴۴۱-۴۴۰ ص.
- پروین، حسین. ۱۳۷۸. رسوب شناسی(رشته زمین شناسی). انتشارات دانشگاه پیام نور. ۱۹۱ ص
- ارزانی، ناصر. ۱۳۸۱. آزمایشگاه رسوب شناسی (رشته زمین شناسی). انتشارات دانشگاه پیام نور. ۱۳۹ ص
- امینی، آرش، ۱۳۷۴، مطالعه برخاستگاه و مکانیزم رسوب زائی لس ها در حوضه آبخیز قوه تیکان، پایان نامه کارشناسی ارشد، دانشگاه تهران،

- فیض نیا، س.، غیومیان، ج. و خواجه، م. ۱۳۸۴. بررسی اثر عوامل فیزیکی، شیمیایی و آب و هوایی در تولید رسوب ناشی از فرسایش سطحی خاکهای لسی (مطالعه موردی استان گاستان)، فصلنامه پژوهش و سازندگی در منابع طبیعی، ۱۴: ۶۶-۲۴.
- عجمی، م.، خرمالی، ف. و ایوبی، ش. ۱۳۹۱. نقش تخریب جنگل‌ها و تغییر کاربری اراضی بر فرسایش پذیری خاک‌های لسی شرق استان گلستان. پژوهش‌های آبخیزداری (پژوهش و سازندگی)، ۹۴: ۳۶-۴۴.
- Pye K. 1987. *Aeolian Dust and Dust deposits*. Academic Press, London .
- Ding, Z.L., Xiong, S.F., Sun, J.M., Yang, S.L., Gu, Z.Y. and Liu, T.S. 1999. *Pedostratigraphy and paleomagnetism of a ~7.0 Ma eolian loess-red clay sequence at Lingtai, Loess Plateau, north-central China and the implications for paleomonsoon evolution*. *Palaeogeography, Palaeoclimatology, Palaeoecology*, 152: 49-66.
- Stanley, K.E. and Schaetzl, R.J. 2011. *Characteristics and paleoenvironmental significance of a thin, dual-sourced loess sheet, north-central Wisconsin*. *Aeolian Research*, 2: 241-25.
- Chen, L., Messing, I., Zhang, S., Fu, B. and Ledin, S. 2003. *Land use evaluation and scenario analysis towards sustainable planning on the loess plateau in China- case study in a small catchment*. *Catena*, 54: 303-316.
- Derbyshire, E. 1983. *Origin and characteristics of some chinese loess at two locations in China*. In: Brookfield, M. E. and T. S. Ahlbrandt (Eds.), *Eolaian Sediment and Processes*. Elsevier, Amsterdam, PP. 69-90.
- Mengel, K., Rahmatullah, R. and Dou, H. 1998. *Release of potassium from the silt and sand fraction of loess-derived soil*. *Soil Science*, 163: 805-813.
- Catt, J.A. 2001. *The agricultural importance of loess*. *Earth Science Reviews*, 54: 213-229
- Vasiljevich, D.A., Markovich, S.B., Hose, T.A., Ding, Z., Guo, Z., Liu, X., Smalley, I., Lukich, T. and Vujicich, M.D. 2013. *Loess-palaeosol sequences in China and Europe: Common values and geoconservation issues*. *Catena*, 8: 148-160
- Presley, D.R., Hartley, P.E. and Ransom, M.D. 2010. *Mineralogy and morphological properties of buried polygenetic paleosols formed in late quaternary sediments on upland landscapes of the central plains, USA*. *Geoderma*, 154: 508-517.
- Schaetzl, R.J. and Anderson , S. 2005. *Soils: Genesis and Geomorphology*. Cambridge University Press, New York. 817 pp.
- Frechen, M. and Dodonov, A.E. 1998. *Loess choronology of the middle and upper pleistocene in Tadzhikistan*. *Geology Rundsch*, 87: 2-20.
- Dayan, U., Ziv, B., Shoob, T. and Enzel, Y. 2008. *Suspended dust over SouthEastern Mediterranean and its relation to atmospheric circulations*. *International Journal of Climatology*, 28: 915-924
- Kehrwald, N.M., McCoy, W.D., Thibeault, J., Bunt, S.J. and Oches, E.A. 2010. *Paleoclimatic implications of the spatial patterns of modern and LGM European land-snail shell  $\delta^{18}\text{O}$* . *Quaternary Research*, 74: 166-176.
- Golyeva, A. and Andric, M. 2013. *Palaeoecological reconstruction of wetlands and Eneolithic land use in Ljubljansko barje (Slovenia) based on biomorphic and pollen analysis*. *Catena*, 64: 243-254
- Tsoar, H. and Pye, K. 1987. *Dust transport and the question of desert loess formation*. *Sedimentology*, 34: 139-153.
- Kehrwald, N.M., McCoy, W.D., Thibeault, J., Bunt, S.J. and Oches, E.A. 2010. *Paleoclimatic implications of the spatial patterns of modern and LGM European land-snail shell  $\delta^{18}\text{O}$* . *Quaternary Research*, 74: 166-176.
- Muhs, D.R. 2007. *Loess deposits, origins and properties*. In: Elias, S.A. (Ed.), *Encyclopedia of Quaternary Science*, pp. 1405-1418

- Jacobs, P.M., Mason, J.A. and Hanson, P.R. 2011. Mississippi valley regional source of loess on the southern green bay lobe land surface, Wisconsin. *Quaternary Research*, 75: 574-583.
- Karimi, A., Frechen, M., Khademi, H., Kehl, M., and Jalaian, A. 2011. Chronostratigraphy of loess deposits in northeast Iran. *Quaternary International*, 234: 124-132.
- Pécsi, M. 1990. Loess is not just the accumulation of dust. *Quaternary International*, 7/8: 1-12
- Iriondo, M.H. and Kröhlung, D.M. 2007. Non-classical types of loess. *Sedimentary Geology*, 202: 352-368.
- Sun, J. 2002. Provenance of loess material and formation of loess deposits on the Chinese loess plateau. *Earth and Planetary Science Letters*, 203:845-854.
- Goudie, A.S., Parker, A.G., Bull, P.A., White, K. and Farraj, A.A. 2000. Desert loess in Ras Al Khaimah, United Arab Emirates. *Journal of Arid Environments*, 46: 123- 135.
- Khormali, F. and Kehl, M. 2011. Micromorphology and development of loess-derived surface and buried soils along a precipitation gradient in northern Iran. *Quaternary International*, 234: 109-123.
- Khormali, F. and M. Ajami . 2011. Pedogenetic investigation of soil degradation on a deforested loess hillslope of Golestan Province, Northern Iran. *Geoderma*, 167-168: 274-283.
- Khormali, F., Ghergherechi, S., Kehl, M. and Ayoubi, S. 2012. Soil formation in loessderived soils along a subhumid to humid climate gradient, Northeastern Iran. *Geoderma*, 179/180: 113-122.
- Okhravi, R. and Amini, A. 2001. Characteristics and provenance of the loess deposits of the Gharatikan watershed in northeast Iran. *Global Planetary Science*, 28: 11-22.
- Kehl, M., Frechen M. and Skowronek, A. 2005. Paleosols derived from loess and loesslike sediments in the basin of persepolis, southern Iran. *Quaternary International*, 140/141: 135-149
- Sun. Jimin, 2002, Provenance of loess material and formation of loess deposits on the Chinese Loess Plateau. *Earth and Planetary Science Letters*. *Earth and Planetary Science Letters* No. 203, pp. 845-859
- Vandenberghe, J. , A. Zhisheng, G. Nugteren, L. Huayu, and K. V. Huissteden. 1997. New absolute time scale for the Quaternary climate in the chinese loess region by grain-size analysis. *Geology*. 25(1):35-38.
- Rasool Okhravi, Arash Amini,2001, Characteristics and provenance of the loess deposits of the Gharatikan watershed in Northeast Iran. *Global and Planetary Change*, No. 28, 1, pp. 11-22
- Karimi, A., Jalalian, A., Kademi, H., 2009, Genesis and Distribution of Palygorskite and Associated Clay Minerals in Soils and Sediments of Southern Mashhad, *Iranian Journal of Crystallography and Mineralogy*, No. 16, pp. 545-558.
- Karimi, A., Khademi, H., Kehl, M., Jalaian, A., 2009, Distribution, Lithology and Provenance of Peridesert Loess Deposits in Northeast Iran, *Geoderm*, No.148, pp. 241-250
- Karimi, A., Frechen. M., Khademi, H., Kehl, M., Jalaian, A., 2011, Chronostratigraphy of Loess Deposits in Northeast Iran, *Quaternary International*, No. 234, pp.124-132.
- Catt, J.A., 2001, The Agricultural Importance of Loess. *Earth-Science Reviews*, No.54, pp.213-229.
- Frechen, M., Dodonov, A.E., 1998, Loess Choronoology of the Middle and Upper Pleistocene in Tadjikistan, *Geologische Rundschau*, No.87, pp.2-20.

- Goudie, A.S., Rendall, H.A., Bull, P.A., 1984, *The loess of Tajik SSR, P399-412* In: Miller, K., (ed.), *Proceedings of the International Karakoram Project, Vol. 1, Cambridge University Press, Cambridge.*
- Okhravi R. and Amini A. 2001. *Characteristics and provenance of the loess deposits of the Gharatikan watershed in northeast Iran. Global Planet*, 28: 11-22
- Simonj Blott And kennethpye. 2001, *Gradistat: A Grain Size Distribution And Statistics Pakage For The Analysis Of Unconsolidated Sediments, Ea rth Surface Processes and Landforms*, 26: 1237 – 1248.
- Khalaf. F. I. .and I.M. Gharib. 1985. *Roundness parameters of quartz grains of recent Aeolian sand deposits in Kuwaiti. Sediment. Geol.* 45:147-158.
- Mazzullo, J. , D. Sims, and D. Cunningham. 1986. *The effects of eolian sorting and abrasion upon the shapes of fine quartz sand grains. Sedimentary Petrology*. 56(1):45-56.